

ИНТЕРФЕРЕНЦИОННЫЕ ЭФФЕКТЫ В СПЕКТРАХ ФОТООИОНИЗАЦИИ СТРУКТУР С КВАНТОВЫМИ ЯМАМИ

И. Н. Долманов, А. К. Марков, В. И. Толстихин

Научно-производственное объединение «Свет», 117420, Москва, Россия
(Получена 5.05.1992. Принята к печати 15.05.1992)

Теоретически исследован и численно промоделирован процесс фотоионизации легированных квантовых ям, помещенных во внешнее электрическое поле. Учтены интерференция фотовозбужденных электронов на потенциале, создаваемом соседними квантовыми ямами, различие эффективных масс в гетерослоях, а также рассеяние. Показано, что перечисленные эффекты приводят к качественной модификации расчетного спектра фотопоглощения и его согласию с экспериментом.

Особенности оптических свойств носителей заряда в кванто-размерных структурах, равно как и прогресс в области гетероэпитаксиальной технологии таких структур, стимулируют их использование в оптоэлектронике. Значительный интерес в связи с этим представляет создание фотодетекторов дальнего ИК диапазона на основе внутристоронних переходов в $A^{III}B^V$ -гетероструктурах с квантовыми ямами (КЯ) [1–10]. Обладая сравнимой с обычными $HgCdTe$ -фотодетекторами на межзонах переходах обнаружительной способностью [1–3], кванто-размерные $A^{III}B^V$ -фотодетекторы имеют ряд важных преимуществ [2]. Среди них большая технологичность, высокая однородность элементов по площади пластины, совместимость с управляющей полевой электроникой, возможность перестраиваемого в широком спектральном диапазоне селективного детектирования и др. В настоящее время активно исследуются два типа ИК фотодетекторов на основе $A^{III}B^V$ -гетероструктур с КЯ. Первый из них использует фотоионизацию КЯ, т. е. оптический выброс 2D-электрона из подзоны размерного квантования в 3D-состояние непрерывного спектра [1–8], тогда как второй — оптические переходы 2D-электронов между квазидискретными состояниями в КЯ с последующим туннелированием в 3D-состояния [9, 10]. Большая обнаружительная способность экспериментально достигается для первого типа детекторов, которые к тому же характеризуются меньшей инерционностью при сравнимой с детекторами второго типа спектральной ширине полосы поглощения и, таким образом, представляются наиболее перспективными.

Важной характеристикой этих ИК детекторов является спектр поглощения. Используемые для его описания подходы ограничиваются, как правило [11, 12], рассмотрением процесса фотопоглощения лишь в одиночной КЯ. Однако сравнение получаемых таким образом результатов с экспериментальными спектрами фотопоглощения в структурах со множественными КЯ показывает, что в большинстве случаев наблюдаемые спектры имеют более сложную структуру и ярче выраженный резонансный характер [2, 3]. Возможные причины этого связаны с модификацией волновых функций 3D-электронов в области непрерывного спектра (по сравнению со случаем одиночной КЯ), проявляющейся даже в типичных для эксперимента условиях отсутствия минизон. Цель настоящей работы состоит в теоретическом исследовании влияния возникающих в таких условиях интер-

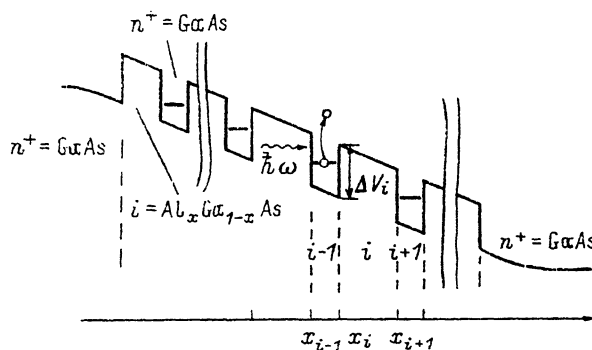


Рис. 1. Схематическая диаграмма зоны проводимости фотодетектора дальнего ИК диапазона со множественными КЯ.

ференционных эффектов на спектры внутриизонного поглощения $\text{Al}^{III}\text{B}^{V}$ -гетероструктурах со множественными КЯ. Очевидно, что данные эффекты наиболее сильно проявляются в структурах, толщина барьеров между отдельными КЯ в которых достаточно мала для эффективной интерференции 3D-электронов, но слишком велика для образования минизонного спектра в области энергий основного состояния 2D-электронов. Простые оценки показывают, что для периодических GaAs/AlGaAs-структур со множественными КЯ — это толщины барьерных слоев ~ 200 Å. На рис. 2, a представлен типичный экспериментальный спектр фотопоглощения такой GaAs/Al_{0.26}Ga_{0.74}As-структуры (в отсутствие электрического поля при $T = 77$ K), зонная диаграмма которой приведена на рис. 1. Период структуры составлял 180 Å при ширине GaAs КЯ, легированной Si до уровня $\sim 10^{11}$ см⁻², порядка 30 Å. Для сравнения на рис. 2, b (сплошная линия) приведен спектр поглощения одиночной КЯ, рассчитанный по одноямной (учитывающей лишь одну КЯ) модели из работы [11]. Видно, что измеренный спектр поглощения много уже и одновременно симметричнее расчетного.

Предлагаемая нами для объяснения этих расхождений многоямная модель спектра фотоионизации структур описанного выше типа во внешнем поле

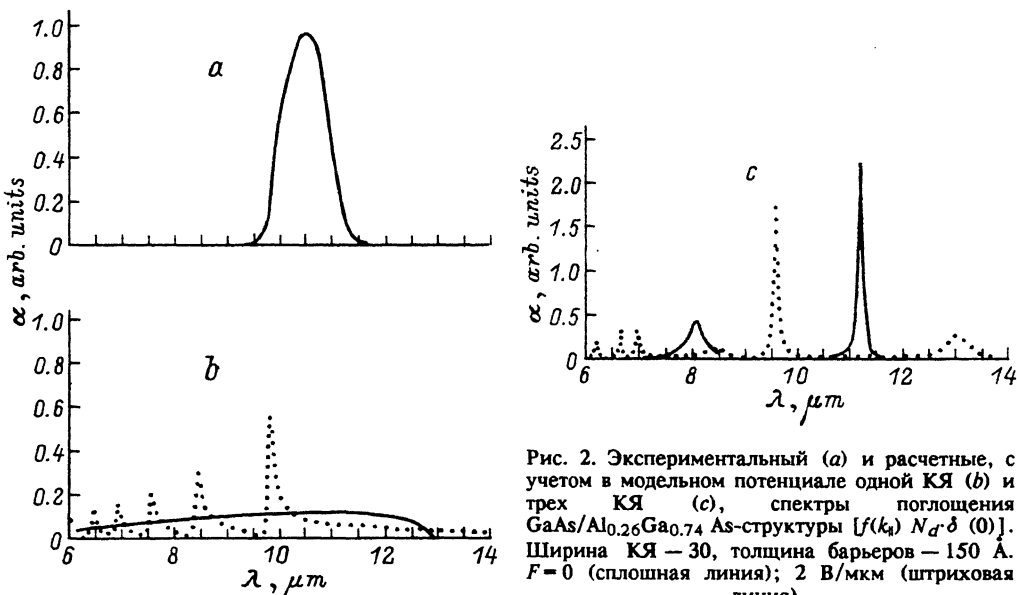


Рис. 2. Экспериментальный (a) и расчетные, с учетом в модельном потенциале одной КЯ (b) и трех КЯ (c), спектры поглощения GaAs/Al_{0.26}Ga_{0.74}As-структуры [$f(k_y) N_d \delta(0)$]. Ширина КЯ — 30, толщина барьеров — 150 Å. $F = 0$ (сплошная линия); 2 В/мкм (штриховая линия).

исходит из следующих допущений. Во-первых, туннельная связь между соседними КЯ предполагается недостаточно сильной для формирования минизонного спектра в области энергии основного состояния электрона в КЯ. Во-вторых, не рассматриваются такие напряженности поля, которые приводят к делокализации основного состояния в КЯ. Эти два условия позволяют независимым образом описывать локализованные в каждой из КЯ состояния. Что же касается состояний непрерывного спектра, то рассеяние 3D-электронов, не малое хотя бы из-за сильного легирования КЯ, приводит к сохранению когерентности волновой функции лишь на масштабе порядка характерной длины рассеяния электрона (~ 500 — 1000 Å). Это обстоятельство позволяет при определении волновых функций непрерывного спектра ограничиться рассмотрением лишь нескольких соседних КЯ, наиболее близких к той КЯ, фотоионизация которой рассматривается. Распределение электрического поля предполагается однородным по периоду структуры, поскольку при типичных размерах КЯ (≤ 50 Å) влияние экранировки внешнего электрического поля 2D-электронами незначительно [¹³].

Для однородной в плоскости гетерослоев структуры лишь оптическое излучение с нормальной к гетерограницам составляющей вектора поляризации приводит к прямым однофотонным переходам между 2D- и 3D-состояниями (с сохранением продольного квазимпульса k_{\parallel}). В первом порядке теории возмущений вероятность разрешенных переходов между стационарными состояниями i и f с полной энергией ϵ_i и ϵ_f соответственно имеет вид

$$W_{if} = \frac{2\pi}{\hbar} |H_{if}|^2 \delta(\epsilon_f - \epsilon_i - \hbar\omega), \quad (1)$$

где H_{if} — матричный элемент взаимодействия электрона с полем световой волны на огибающих волновых функциях, определяемых уравнением Шредингера с потенциалом, изображенным на рис. 1. Координатная зависимость эффективной массы, возникающая вследствие ее различия в гетерослоях, при разделении переменных приводит к замене этого потенциала на эффективно зависящий от k_{\parallel} [¹⁴]. При этом вероятность поглощения монохроматического излучения с частотой ω 2D-электронным газом определяется выражением

$$W = \frac{2\pi}{\hbar} \sum_{i,f} \sum_{k_{\parallel}} f_i(k_{\parallel}) |H_{if}(k_{\parallel})|^2 \delta(\epsilon'_f(k_{\parallel}) - \epsilon'_i(k_{\parallel}) - \hbar\omega), \quad (2)$$

где $f(k)$ — функция распределения электронов по продольному квазимпульсу, $\epsilon'_{i,f}(k_{\parallel})$ — энергия движения электрона в поперечном направлении, а суммирование по i и f проводится по всем состояниям с равной величиной k_{\parallel} . В дипольном приближении [¹⁵]

$$H_{if}(k_{\parallel}) = \frac{ieE_{\perp}\hbar}{2m\omega} \int \psi_{e_f}^* \frac{\partial}{\partial x} \psi_{e_i} dx, \quad (3)$$

где E_{\perp} — нормальная к плоскости слоев составляющая напряженности электрического поля в световой волне; m — масса свободного электрона; ω — частота оптического излучения, а ψ_{e_i} и ψ_{e_f} — волновые функции электрона, являющиеся решениями одномерного уравнения Шредингера (для движения в направлении, перпендикулярном гетерослоям). В каждом i -м из слоев периодической структуры они представляют собой суперпозицию плоских волн (в отсутствие электрического поля) или функций Эйри $Ai(t_i)$ и $Bi(t_i)$ (при наличии однородного внешнего поля) от аргумента:

$$t_i = -\operatorname{sign}(F) \left(\frac{\epsilon - U_i}{eF} x \right) \left(\frac{2m_i e |F|}{\hbar^2} \right)^{1/3},$$

где F — напряженность электрического поля, U_i — потенциальная энергия в точке $x = x_i + 0$, m_i — эффективная масса электрона в i -м слое. Для излучения, распространяющегося вдоль плоскости слоев и поляризованного по нормали к слоям, коэффициент поглощения без учета эффектов деполяризации имеет вид

$$\alpha_{\parallel} = \frac{1}{d} \left(\frac{2\pi e \hbar}{m} \right)^2 \frac{1}{nc\omega} \times \\ \times \sum_{i,f} \sum_{k_{\parallel}} f_i(k_{\parallel}) \left| \int \psi_{\epsilon_f}^{*} \frac{\partial}{\partial x} \psi_{\epsilon_f} dx \right|^2 \delta(\epsilon_f'(k_{\parallel}) - \epsilon_i'(k_{\parallel}) - \hbar\omega) \quad (4)$$

(d — период структуры, n — средний коэффициент преломления в приближении мелкослоистой среды [16], c — скорость света). Основные особенности спектра поглощения, связанные с интерференцией электрона на гетерограницах соседних КЯ, удобно проследить на примере δ -образного распределения 2D-электронов вида $f_i(k_{\parallel}) \sim N_d \delta(k_{\parallel})$, где N_d — поверхностная концентрация 2D-электронов. На рис. 2, *b*, *c* приведены рассчитанные в таком случае с использованием формул (2)–(4) спектры поглощения при учете одной и трех КЯ. Видно, что учет соседних КЯ качественно изменяет вид спектра поглощения и обеспечивает лучшее согласие с экспериментальным спектром, приведенным на рис. 2, *a*. Детальный анализ волновой функции показывает, что первый резонанс в длинноволновой области определяется положением виртуального уровня для пары КЯ. Под положением виртуального уровня мы будем понимать то значение энергии, которое соответствует локальному максимуму на энергетической зависимости коэффициента надбарьерного прохождения. В случае трех КЯ при $F=0$ имеет место расщепление такого виртуального уровня на два, однако симметрия волновых функций основного и возбужденного состояний такова, что на спектре поглощения имеется единственный максимум (сплошная линия на рис. 2, *c*), а соответствующее ему состояние лежит между расщепившимися виртуальными уровнями. Во внешнем электрическом поле расстояние между виртуальными уровнями увеличивается, и на спектре поглощения (штриховая линия на рис. 2, *c*) появляются два максимума, определяющихся смещением виртуальных уровней для пар КЯ в поле. В результате в структуре с выбранными параметрами имеет место красное смещение длинноволнового максимума поглощения. Модель, учитывая лишь одну КЯ (рис. 2, *b*), естественно, не дает резонансов такого рода. Укажем также, что при расчете коэффициента поглощения с учетом пяти КЯ получаются близкие к случаю трех КЯ спектральные зависимости, отличающиеся лишь при $F=0$ более тонкой структурой вблизи резонансов (что связано с дополнительным расщеплением уровней). С ростом периода структуры и электрического поля взаимное влияние соседних КЯ на волновую функцию фотовозбужденного электрона уменьшается. Масштаб соответствующих значений электрического поля F_0 можно оценить, используя асимптотику зависимости коэффициента надбарьерного отражения R частицы с энергией ϵ от гетерограницы высотой ΔU (соседней КЯ в данном случае) [17]:

$$R \sim (\Delta U / 4\epsilon)^2. \quad (5)$$

Полагая достаточным для слабой интерференции $R \leq 1/4$, при $\epsilon = eF_0 d$, $\Delta U \sim 0.3$ эВ получим для структуры с периодом $d \sim 200 \text{ \AA}$ $F_0 \geq 7 \cdot 10^4 \text{ В/см}$, что в несколько раз превышает характерные значения электрического поля в фотоде-

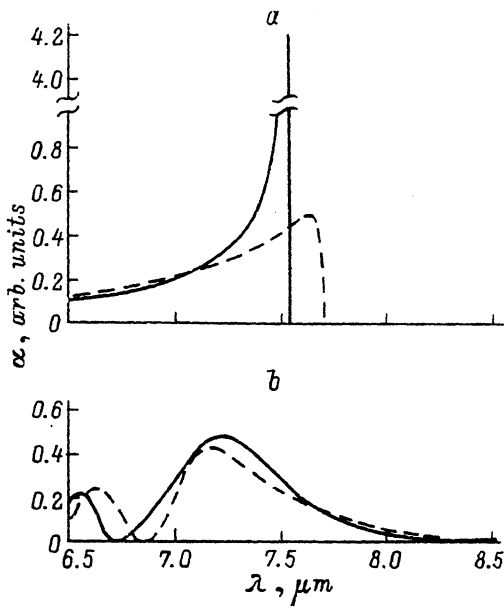


Рис. 3. Расчетные спектры поглощения GaAs/Al_{0.3}Ga_{0.7}As одиночной КЯ при $F = 0$ (a) $F = 1$ В/мкм
(b). Ширины КЯ: 46 (штриховая линия) и 48 Å (сплошная линия).

текторах [1–3], обусловленные требованием малости темнового туннельного тока из КЯ. Оценка характерного поля, при котором ослабевает туннельное влияние другой соседней КЯ на волновую функцию фотовозбужденного электрона, дает величину того же порядка, что и (5). Поскольку F_0 обратно пропорционально периоду структуры, при типичных для фотодетекторов полях приближение одиночной КЯ может быть использовано при $d \geq 500$ Å (что, кстати, порядка и характерной длины когерентности волновой функции). В ряде теоретических работ [11, 18, 19] резонансный характер спектров поглощения детекторных структур при переходах в непрерывный спектр связывается с наличием виртуального уровня вблизи края одиночной КЯ при $F = 0$. Однако из приведенных на рис. 3, a спектров поглощения одиночных КЯ с близкими параметрами непосредственно видно, что резонанс такого рода крайне чувствителен к параметрам структуры и не может играть решающей роли в реальных приборах. В типичном же для большинства экспериментов внешнем электрическом поле изменяются граничные условия для волновой функции электрона в надбарьерной области — появляется наклонная стенка, что приводит к серии интерференционных резонансов на спектре поглощения, отсутствующих при $F = 0$ и менее чувствительных к параметрам структуры (рис. 3, b) [12]. Во внешнем электрическом поле максимум поглощения сдвигается в коротковолновую область, а красная граница спектра размывается за счет туннелирования. Представленные на рис. 2, b, c и рис. 3, b расчетные кривые описывают основные особенности экспериментальных спектров, однако имеют более резкий характер и ряд резонансных особенностей в коротковолновой области. Выделим несколько основных эффектов, сглаживающих интерференционные максимумы в реальных структурах, а именно: рассеяние, упоминавшаяся ранее зависимость вероятности переходов от величины квазимпульса электрона в плоскости слоев, технологическая неоднородность КЯ и неоднородность электрического поля по толщине структуры. Поскольку последние два фактора могут быть практически устранены, оценим влияние первых двух. Рассматривая рассеяние как возмущение и не конкретизируя его

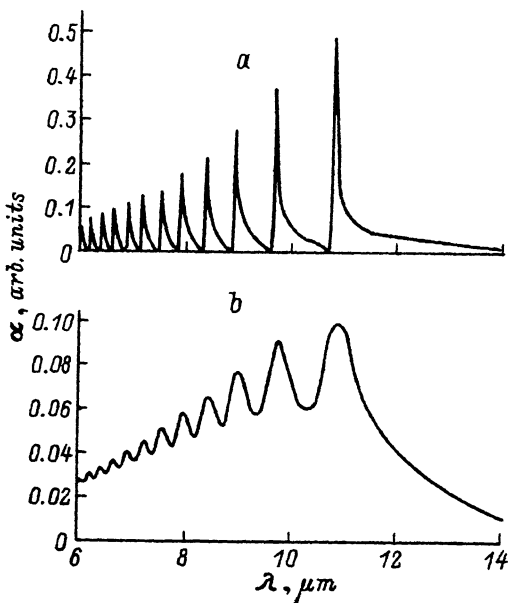


Рис. 4. Расчетные спектры поглощения GaAs/Al_{0.26}Ga_{0.64}As одиночной КЯ шириной 30 Å при $F = 1$ В/мкм для $\Gamma = 0$ (а) и $\Gamma = 2$ мэВ (б).

механизм, запишем волновую функцию электрона $\psi_\epsilon(x, t)$ в следующем виде, формально учитывая конечное время жизни τ_ϵ квазистационарного состояния с энергией ϵ :

$$\psi_\epsilon(x, t) = \psi_\epsilon(x) \exp\left(-\frac{i}{\hbar} \epsilon t - \frac{t}{2\tau_\epsilon}\right). \quad (6)$$

В выражении для вероятности переходов в единицу времени между состояниями i и f под действием периодического возмущения с частотой ω (2) такое представление волновой функции (как и в случае адиабатического включения возмущения) приводит к замене δ -функции на лоренциан вид

$$\delta(\epsilon_f - \epsilon_i - \hbar\omega) \Rightarrow \frac{\Gamma}{\pi \left((\epsilon_f - \epsilon_i - \hbar\omega)^2 + \Gamma^2 \right)}, \quad (7)$$

где уширение линии $\Gamma = \frac{\hbar}{2} (\tau_{\epsilon_i}^{-1} + \tau_{\epsilon_f}^{-1})$. При $\tau_\epsilon \sim 0.5$ пс уширение линии составляет ~ 1 мэВ. На рис. 4 представлен спектр фотопоглощения одиночной КЯ, помещенной в слабое внешнее поле без учета и с учетом процессов рассеяния. Физическая природа качественной модификации спектра поглощения при учете рассеяния прозрачна — начиная с определенной энергии расстояние от КЯ до наклонной потенциальной стенки, образованной внешним полем, становится много больше характерной длины рассеяния, и фотовозбужденный электрон перестает ее «чувствовать». В результате в области больших энергий фотона спектр фотопоглощения, рассчитанный с учетом рассеяния в слабом внешнем поле, практически совпадает со спектром, рассчитанным при $F = 0$ (ср. с рис. 2, б).

Более существенно, как показывают оценки, влияет на спектр зависимость вероятности фотовозбуждения электрона от величины его квазимпульса в плоскости слоев, обусловленная отличием эффективной массы электрона в слоях

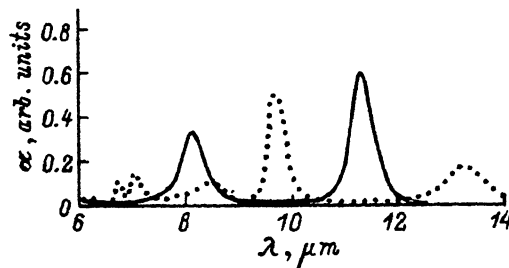


Рис. 5. Расчетный спектр поглощения $\text{GaAs}/\text{Al}_{0.26}\text{Ga}_{0.74}\text{As}$ структуры с такими же, как и на рис. 2, с, параметрами с фермиевской функцией распределения $f(k_i)$ при двумерной концентрации электронов $3 \cdot 10^{11} \text{ см}^{-2}$, $T = 77 \text{ К}$ и $\Gamma = 1 \text{ мэВ}$. $F = 0$ (сплошная линия); 2 В/мкм (штриховая линия).

структуре [14]. При типичной для экспериментальных структур концентрации донорной примеси в КЯ 10^{18} см^{-3} и ширине КЯ порядка 30 \AA концентрация двумерных электронов на основном уровне размерного квантования составляет $3 \cdot 10^{11} \text{ см}^{-2}$, что при азотной температуре соответствует энергии Ферми около 20 мэВ . Для электрона с такой энергией продольного движения эффективное понижение высоты барьера за счет отлиния эффективных масс $\text{GaAs}/\text{Al}_{0.26}\text{Ga}_{0.74}\text{As}$ -структуре составляет $\sim 6 \text{ мэВ}$. В результате спектр поглощения размывается в красную область примерно на эту величину (в соответствии с функцией распределения электронов в КЯ по продольному квазимпульсу). На рис. 5 приведен расчетный спектр поглощения структуры с такими же, как и на рис. 2, параметрами (модель учитывала 3 КЯ) при $T = 77 \text{ K}$, двумерной концентрации электронов $3 \cdot 10^{11} \text{ см}^{-2}$ и $\Gamma = 1 \text{ мэВ}$. Из сравнения с рис. 2, с видно, что учет рассеяния и продольного квазимпульса электронов существенно слаживает спектр поглощения при сохранении выраженных резонансных особенностей, положение которых зависит от величины электрического поля.

Проведенное сопоставление теоретических результатов с экспериментальными данными показало, что неоднократно наблюдавшиеся на спектре поглощения структур со множественными КЯ дополнительные резонансные особенности могут быть обусловлены рассмотренными выше интерференционными эффектами. При этом ширина и форма спектральной кривой, рассчитанной с использованием многоядмной модели, хорошо совпадают с реально наблюдаемыми, в то время как положение максимумов оказывается несколько смещенным, что может быть вызвано не рассматриваемыми в данной работе эффектами деполяризационного сдвига [18, 19] и сдвига энергии переходов за счет обменного взаимодействия [5], которые не меняют качественным образом спектральную зависимость коэффициента поглощения. Отметим также, что экспериментально наблюдаемая близость спектра фоточувствительности, являющегося основной характеристикой фотоприемника, и спектра фотопоглощения позволяет в большинстве случаев для качественных оценок параметров детектора ограничиться расчетом коэффициента поглощения, что является значительно менее трудоемкой задачей в силу нетривиальности расчета транспортных свойств носителей в структурах с МКЯ.

В заключение авторы благодарят В. Б. Куликова и Ю. А. Матвеева за любезно предоставленные результаты экспериментального измерения спектров поглощения.

СПИСОК ЛИТЕРАТУРЫ

- [1] B. F. Levine, C. G. Bethea, G. Hasnain, J. F. Walker, R. J. Malik. Electron. Lett., 24, 747 (1988).
- [2] B. F. Levine, C. G. Bethea, G. Hasnain, J. F. Walker, R. J. Malik. Appl. Phys. Lett., 53, 296 (1988).
- [3] B. F. Levine, G. Hasnain, C. G. Bethea, N. Chand. Appl. Phys. Lett., 54, 2704 (1989).

- [4] B. K. Janousek, M.J. Daugherty, W. L. Bloss et al. *J. Appl. Phys.*, **67**, 7608 (1990).
- [5] S. D. Gunapala, B. F. Levine, R. A. Logan *Appl. Phys. Lett.*, **57**, 1802 (1990).
- [6] G. Hasnain, B. F. Levine, D. L. Sivco, A. Y. Cho. *Appl. Phys. Lett.*, **56**, 770 (1990).
- [7] G. Hasnain, B. F. Levine, C. G. Bethea, R. A. Logan, J. F. Walker, R. J. Malik. *Appl. Phys. Lett.*, **54**, 2515 (1989).
- [8] C. G. Bethea, B. F. Levine, G. Hasnain, J. Walker, R. J. Malik. *J. Appl. Phys.*, **66**, 963 (1989).
- [9] K. K. Choi, B. F. Levine, C. G. Bethea, J. F. Walker, R. J. Malik. *Appl. Phys. Lett.*, **50**, 1814 (1987).
- [10] B. F. Levine, K. K. Choi, C. G. Bethea, J. F. Walker, R. J. Malik. *Appl. Phys. Lett.*, **50**, 1092 (1987).
- [11] В. В. Осипов, Ф. Л. Серженко, В. Д. Шадрин. *ФТП*, **23**, 809 (1989).
- [12] А. Г. Петров, А. Я. Шик. *ФТП*, **24**, 1431 (1990).
- [13] A. Harwit, J. S. Harris. *Appl. Phys. Lett.*, **50**, 685 (1987).
- [14] Z. Ikonik., V. Milanovic, D. Tjapkin. *Phys. Rev. B.*, **37**, 3097 (1988).
- [15] А. И. Ансельм. *Введение в теорию полупроводников*, 615. М. (1989).
- [16] С. М. Рытов. *ЖЭТФ*, **29**, 605 (1955).
- [17] Л. Д. Ландау, Е. М. Лифшиц. *Квантовая механика*, 767. М. (1989).
- [18] А. Я. Шик. *Письма ЖТФ*, **15**, 40 (1989).
- [19] Ф. Л. Серженко, В. Д. Шадрин. *Письма ЖТФ*, **16**, 34 (1990).

Редактор В. В. Чалдышев
